



## نشریه مهندسی مکانیک امیرکبیر

نشریه مهندسی مکانیک امیرکبیر، دوره ۵۳، شماره ۹، سال ۱۴۰۰، صفحات ۴۸۷۲ تا ۴۹۰۴  
DOI: 10.22060/mej.2021.15393.6112

# بررسی عددی/تجربی حضور برآمدگی نامتعارف در یک نازل همگرا-واگرا در رژیم مافوق صوت برای کنترل بردار پیشرانش

دادوختاری<sup>۱</sup>، محمد حججی<sup>۲\*</sup>، مسعود افرند<sup>۱</sup>

<sup>۱</sup>- دانشکده گروه مهندسی مکانیک، واحد نجف‌آباد، دانشگاه آزاد اسلامی، نجف‌آباد، ایران  
<sup>۲</sup>- مرکز تحقیقات هوافضا و تبدیل انرژی، واحد نجف‌آباد، دانشگاه آزاد اسلامی، نجف‌آباد، ایران

### تاریخچه داوری:

دریافت: ۱۳۹۷/۰۹/۱۳

بازنگری: ۱۳۹۷/۱۲/۲۴

پذیرش: ۱۳۹۸/۰۱/۲۵

ارائه آنلاین: ۱۴۰۰/۰۴/۲۹

### کلمات کلیدی:

بردار تراست

نازل همگرا-واگرا

برآمدگی

مافوق صوت

آیروودینامیک تجربی و عددی

**خلاصه:** در این پژوهش اثر یک برآمدگی استوانه‌ای شکل بر بردار پیشرانش یک جت مافوق صوت به عنوان یک روش جدید در کنترل بردار پیشران مورد بررسی قرار گرفت. برای این منظور یک نازل همگرا-واگرا طراحی و ساخته شد. این نازل به صورتی است که عدد ماخ اسمی خروجی آن در شرایط انبساط کامل ۲ می‌باشد. دیواره این نازل برای اندازه‌گیری تغییرات فشار مجهز به سوراخ‌های فشار شده است. همچنین، در دیواره نازل مجرایی برای اعمال یک برآمدگی در درون نازل ایجاد شده است. از سنسورهای فشار برای اندازه‌گیری فشار و همچنین، از سیستم شلرین برای بررسی میدان جریان خروجی از نازل بهره برده شده است. فشار کل محفظه آرامش در تمام آزمایش‌ها ثابت بوده و نسبت فشار نازل برابر ۶/۶ می‌باشد. از کد عددی سه بعدی و چند بلوکی برای مدل‌سازی جریان استفاده شده است. همچنین، از مدل آشفتگی کاپسیلون آران جی برای مدل‌سازی جریان درون نازل استفاده شده است. از یک شبکه بی‌سازمان برای شبکه بندی درون نازل و محیط بیرون استفاده شده است. نتایج حاصل از این تحقیق نشان می‌دهد که عمق نفوذ برآمدگی در میدان جریان تأثیر چشمگیری بر میزان انحراف و حتی جهت انحراف جریان جت خارج شده از نازل همگرا-واگرا دارد. پیشترین میزان انحراف جریان جت خروجی از نازل برابر با  $0.4 / D^* = 0.7/8$  درجه بوده که در میزان نفوذ برآمدگی برابر با اتفاق افتاده است. بعلاوه، این نتایج نشان می‌دهد که با افزایش میزان نفوذ برآمدگی در درون نازل، میزان پیشرانش محوری نازل اندکی کاهش یافته است.

## ۱- مقدمه

توسط و دری ۳ مطرح شد و پیاده سازی آن در سال ۱۹۵۲ به انجام رسید

[۲]. از نخستین پژوهش‌های تجربی در مورد کنترل بردار پیشرانش توسط ریچارد گاووس<sup>۳</sup> [۳] در سال ۱۹۶۵ صورت گرفت که نشان داد. افزایش فشار سکون جریان ثانویه، شوک جدایش<sup>۴</sup> را به سمت بالا دست هدایت می‌کند و موجب تغییر بیشتر بردار پیشرانش می‌شود. پژوهش‌های عدی زیادی نیز در این زمینه انجام شده که از نخستین آن‌ها می‌توان به حل معادلات اویلر به صورت سه بعدی در سال ۱۹۹۱ توسط بالو<sup>۵</sup> و همکاران<sup>[۴]</sup> اشاره نمود، که این پژوهش با ضریب تقویت جت ثانویه و پیشران محوری انجام شده و نسبت نیروی جانبی به نیروی محوری به دست آمده است.

همچنین، در زمینه کنترل بردار پیشرانش با استفاده از زبانه می‌توان به پژوهش‌های هالستن<sup>۶</sup> در سال ۱۹۶۵ [۵]، اتوچ<sup>۷</sup> در سال ۱۹۷۱ [۶] و سیمونز<sup>۸</sup>

2 vedirbee

3 Gubse

4 Separation Shock

5 Balu

6 Hollstein

7 Eatough

8 Simmons

(Creative Commons License) حقوق مؤلفین به نویسنده‌گان و حقوق ناشر به انتشارات دانشگاه امیرکبیر داده شده است. این مقاله تحت لیسانس آفرینندگی مردمی (Creative Commons License) در دسترس شما قرار گرفته است. برای جزئیات این لیسانس، از آدرس <https://www.creativecommons.org/licenses/by-nc/4.0/legalcode> دیدن فرمائید.

## 1 Thrust Vector Control (TVC)

\* نویسنده عهده‌دار مکاتبات: Hojaji\_m@pmc.iaun.ac.ir

\*\* نویسنده عهده‌دار مکاتبات: Hojaji\_m@pmc.iaun.ac.ir



بررسی شده است. برخی کمیت‌های انتگرالی عملکرد سیستم با نتایج تجربی و عددی مقایسه شده که نشان داده شده است که با داده‌های عددی تطابق خوبی دارند.

زمیجانویک و همکاران [۱۴] در سال ۲۰۱۴ به کنترل بردار پیشرانش شوک در یک نازل مافوق صوت مخروطی متقارن از طریق تزریق گاز ثانویه عرضی پرداختند. در این تحقیق تزریق گاز ثانویه عرضی به جریان مافوق صوت در یک نازل متقارن همگرا- واگرا مورد بررسی قرار گرفته است. آزمایش‌ها با استفاده از هوای خشک و سرد در یک تونل باد مافوق صوت با استفاده از دو نازل مخروطی مافوق صوت یکسان با موقعیت‌های مختلف تزریق ثانویه عرضی برای توصیف اثرات سیال بر بردار پیشرانش انجام گرفت. نتایج نشان می‌دهد که متوسط نسبت جرم جریان ثانویه به اولیه در حدود ۵٪ می‌باشد و این امکان را می‌دهد که کنترل بردار پیشرانش مناسبی انجام شود. همچنین، نشان داده که انتقال موقعیت انژکتور تزریق و هندسه نازل اثر بسیار قوی بر کنترل بردار پیشرانش و عملکرد نازل دارد. دنگ<sup>۵</sup> و همکاران [۱۵] در سال ۲۰۱۴ به شبیه‌سازی عددی بردار پیشرانش سیال در نازل مافوق صوت متقارن پرداختند. تزریق گاز ثانویه به یک نازل مافوق صوت متقارن تحت فشار اتمسفر استاندارد برای بررسی عملکرد نازل و کنترل بردار پیشرانش نازل انجام شد. یک مدل تحلیلی بر اساس جریان تزریق ثانویه عرضی ایجاد شد. نمودار عدد ماخ در موقعیت‌های مختلف نازل با تزریق ثانویه به دست آمد. نسبت فشار نازل نیز عامل کلیدی برای کنترل بردار شوک است.

طحانی و همکاران [۱۶] در سال ۲۰۱۵ به بررسی عددی اثرات تزریق جت صوتی سیال در مشخصات میدان جریان و کارآیی کنترل بردار تراست در نازل مافوق صوت پرداختند. در این تحقیق تأثیر جت صوتی سیال ثانویه در بخش واگرای نازل مافوق صوت بر ساختار میدان جریان و عملکرد بردار پیشرانش به صورت عددی بررسی شد. از یک کد عددی سه بعدی و چند بلوکی، برای مدل‌سازی آشفتگی جریان استفاده شده است. تغییر قدرت جت ثانویه به کمک تغییر سطح مقطع انتژکتور تزریق و همچنین تغییر نسبت فشار تزریق به فشار نازل ایجاد شده است. افزایش قدرت تزریق موجب تغییراتی در عملکرد سیستم ایجاد کرده که گاهی سبب کاهش عملکرد سیستم شده است عملکرد این روش و تأثیرات تزریق ثانویه در پنج سطح مقطع تزریق مختلف و پنج نسبت فشار متفاوت مورد بررسی قرار گرفته است نتایج، تطابق خوبی با داده‌های تجربی تحقیقات پیشین نشان داده است که در نسبت فشار

و همکاران در سال ۱۹۸۶ [۷] اشاره نمود. در این پژوهش‌ها که به صورت تجربی مورد بررسی قرار گرفته اثرات نسبت انسدادی زبانه، زاویه زبانه نسبت به جریان خروجی بر زاویه بردار پیشرانش ارائه شده است. استفاده از زبانه برای کنترل بردار پیشرانش، معایبی نظیر تشدید صدا در خروجی نازل دارد که در سال ۲۰۰۲ این موضوع توسط هیلمان<sup>۱</sup> و صمیمی<sup>۲</sup> مورد بررسی قرار گرفته است. نتایج این پژوهش نشان داد استفاده از زبانه می‌تواند باعث انحراف و جابه‌جایی جریان خروجی از نازل شود.

فانیندرا<sup>۳</sup> و راتاکریشن [۹] نیز در سال ۲۰۱۰ اثرات ناشی از کاربرد زبانه‌های موجی شکل بر کنترل بردار پیشرانش را مورد بررسی قرار دادند. نتایج نشان می‌دهد استفاده از زبانه‌های موجی شکل به جای زبانه‌های ساده می‌تواند ضمن کنترل بردار پیشرانش، در کاهش طول محدوده شوک‌های الماسی نیز تأثیر گذار باشد. از دیگر معایب این روش، تأثیر بارهای حرارتی بر زبانه‌هایی است که در معرض حرارت جریان خروجی از نازل قرار دارند. زیوکویک<sup>۴</sup> و همکاران [۱۰] در سال ۲۰۱۶ به بررسی عددی و تجربی اثرات ناشی از انسداد جریان داغ جلوی زبانه، چگونگی انتشار حرارت بر زبانه و میزان انحراف بردار پیشران نازل پرداختند. این پژوهش به صورت تجربی و عددی انجام شده است. نتایج این پژوهش نشان می‌دهد، استفاده از زبانه برای کنترل بردار پیشرانش مؤثر می‌باشد و دماستحهایی در این زبانه‌ها برای جلوگیری از معایب ناشی از حرارت جریان خروجی به کار گرفته شده است. شین<sup>۵</sup> و همکاران [۱۱] در سال ۲۰۱۰ کنترل بردار پیشرانش با استفاده از نازل دو گلوگاه را به صورت عددی مورد مطالعه قرار دادند. در این پژوهش با طراحی دو گلوگاه، یکی در بالادست و یکی در خروجی نازل برای کنترل بردار پیشرانش اقدام شده است. همچنین، در بین دو گلوگاه مزبور، یک حفره ایجاد شده است. اثرات تزریق ثانویه با نسبت دیهای جرمی مختلف و نسبت فشارهای متفاوت بر عملکرد نازل دو گلوگاهه مورد بررسی قرار گرفته است. کنترل مؤثر بردار تراست بر حسب ضرایب تراست و تخلیه در این تحقیق به طور کامل ارائه شده است.

حججی و همکاران [۱۲ و ۱۳] در سال ۲۰۱۴ به بررسی پاسخ جریان دو بعدی و سه بعدی و همچنین عملکرد تزریق ثانویه در نازل مافوق صوت پرداختند. در این پژوهش‌ها که به صورت عددی انجام گرفته است پارامترهای متفاوتی نظیر برخورد شوک با دیواره مقابل تزریق و محل جدایش جریان

1 Hileman

2 Phanindra

3 Zivkovic

4 Shin

موج شوک تا دو برابر می‌شود. البته بیشتر این انحراف ناشی از شوک قوی تر می‌باشد.

بررسی پژوهش‌های صورت گرفته در زمینه کنترل بردار پیشرانش، نشان می‌دهد که بیشتر این تحقیقات با استفاده از روش تزریق سیال ثانویه در قسمت واگرای نازل انجام شده است. همچنین، پژوهش‌هایی از روش‌های تداخلی مختلفی تاکنون ارائه شده است. استفاده از پره در مسیر جریان، به کارگیری صفحه هم‌راستا در خروجی نازل و استفاده از صفحه عمودی (به صورت زبانه) در خروجی نازل که به تپ معروف است از جمله این روش‌ها می‌باشد. استفاده از یک پره با سطح مقطع شبیه بال که به طور دائم در مسیر گازهای داغ خروجی از نازل قرار دارد، به دلیل سادگی آن‌ها بیشترین کاربرد را دارد. البته، این سیستم‌ها به دلیل حضور مداوم پره در مسیر جریان از لحاظ سازه‌ای با مشکلات زیادی مواجه هستند. استفاده از زبانه در خروجی نازل برای کنترل بردار پیشرانش نیز مورد توجه بسیاری از محققان بوده است. در این روش یک زبانه در مقابل جریان خروجی از نازل قرار می‌گیرد. این موجب ایجاد یک شوک در بالادست زبانه و انحراف جریان می‌شود. در این پژوهش سعی بر آن است تا با استفاده از یک برآمدگی استوانه‌ای شکل که در قسمت واگرای نازل در مسیر جریان قرار می‌گیرد جت خروجی از نازل کنترل شود. این روش از این جهت مورد توجه قرار گرفت که روش ساده، جدید و بسیار کم هزینه حتی نسبت به روش تزریق جت می‌باشد. هرچند حضور برآمدگی در مسیر جریان ممکن است باعث فرسودگی قطعه شود ولی به نسبت روش‌های دیگر باز هم مقرون به صرفه می‌باشد. و معایب روش استفاده از زبانه را نیز ندارد. در این تحقیق در چند مرحله با قرار دادن برآمدگی با میزان ارتفاع متفاوت در یک موقعیت از قسمت واگرای نازل میزان توزیع فشار روی دیواره نازل و میزان انحراف جت خروجی اندازه‌گیری می‌شود.

#### ۱- رویکرد کنترل بردار پیشران با ایجاد شوک

برآمدگی استوانه‌ای شکل از مجرای دایره‌ی شکل در قسمت واگرای نازل در مسیر جریان اصلی قرار می‌گیرد، به واسطه حضور برآمدگی در مسیر جریان اصلی لایه مرزی از دیواره جدا شده و موجب ایجاد شوک می‌شود که در نتیجه شوک ایجاد شده باعث انحراف جریان می‌شود. همانطور که در شکل ۱ مشاهده می‌شود برآمدگی یک مانع در مسیر جریان موفق صوت به عنوان عامل اصلی تغییر حرکت جت مأمور است. این روش از جهت عملکرد مشابه روش تزریق ثانویه است.

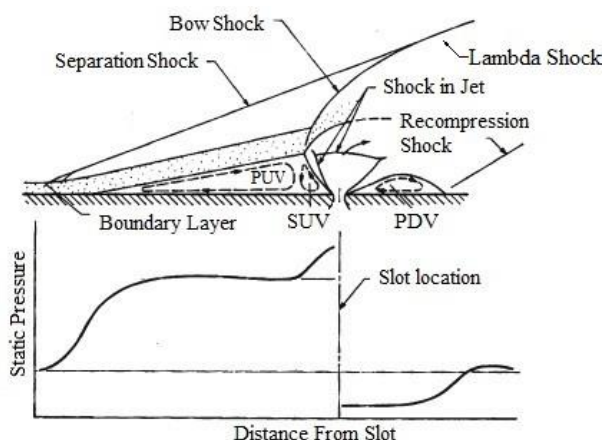
در شکل ۲ تزریق روی صفحه تخت نشان داده شده است. تزریق باعث

۱ و نسبت دی ۰/۰۷٪ برخورد شوک به دیواره مقابل نازل رخ داده است. در نهایت زاویه تزریق به عنوان یک پارامتر کلیدی برای بهبود عملکرد روش مورد مطالعه واقع شده است.

دنگ و همکاران [۱۷] در سال ۲۰۱۶ به بررسی روش شبیه‌سازی گردابه بزرگ برای کنترل بردار شوک با استفاده از عبور جریان کنارگذر پرداختند. در این تحقیق از پدیده‌های ناپایدار برای کنترل برداری شوک در فضای سه بعدی بهره گرفته شده است. همچنین، کنترل برداری شوک یک راه واقعاً کارآمد برای کنترل جت با سرعت بالا می‌باشد. به علاوه، طبیعت ناپایدار از روش کنترل بردار شوک در نسبت فشارهای مختلف نازل در مدل شبیه‌سازی زاویه بردار پیشرانش در نسبت فشارهای مختلف نازل در مدل شبیه‌سازی گرداب بزرگ ثبت شده است. نتایج نشان می‌دهد برای دست یافتن به کنترل بردار پیشرانش مناسب با استفاده از جریان کنارگذر مقدار نسبت جرم جریان کمتر از ۷٪ باشد.

صالحی‌فر و همکاران [۱۸] در سال ۲۰۱۶ به بررسی عددی تزریق ثانویه گاز داغ بر کنترل بردار تراست و بر مشخصات میدان جریان پرداختند. در این تحقیق عملکرد تزریق گاز داغ در قسمت واگرای نازل بررسی شده و از کد عددی سه بعدی و چند بلوکی برای مدل‌سازی جریان استفاده شده است. همچنین، از مدل آشفتگی کا امگا اس اس تی برای مدل‌سازی آشفتگی جریان در تزریق‌های تکی و دوگانه استفاده شده است. نتایج این شبیه‌سازی با نتایج آزمایشگاهی صحت سنجی شده است. برای افزایش قدرت تزریق، سطح مقطع تزریق و نسبت فشار تزریق به فشار نازل افزایش یافته است. بررسی‌ها نشان داده که افزایش قدرت تزریق منجر به کاهش ضربت تقویت می‌شود. همچنین، نشان داده شده که در تزریق گاز داغ با افزایش قدرت تزریق در محدوده مجاز تزریق، راندمان کاهش می‌یابد. در نتیجه تزریق دوگانه نمی‌تواند راندمان این روش را افزایش دهد و فقط کمک می‌کند که گاز بیشتری بدون شوک ضربه‌ای تزریق کند و نیروی پیشرانش را افزایش دهد.

لای و همکاران [۱۹] در سال ۲۰۱۷ به بررسی بردار پیشران سیال در نازل با زاویه پیچ و گشتاور پرداختند. این تحقیق در نسبت‌های فشار کل تزریق ثانویه به جریان اصلی و نسبت‌های فشار استاتیک تزریق ثانویه به جریان اصلی انجام شده است. نتایج نشان می‌دهد که دو شوک ضعیف و قوی در بالادست محل تزریق به وجود می‌آیند که شوک ضعیف بر اثر جدایش لایه مرزی و شوک دوم در اثر حضور تزریق ثانویه می‌باشد. این نتایج نشان می‌دهند که میزان انحراف جریان اصلی در اثر عبور از این دو



شکل ۲. تصویر تزریق با پورت دایره‌شکل بر روی صفحه تخت [۲۳]

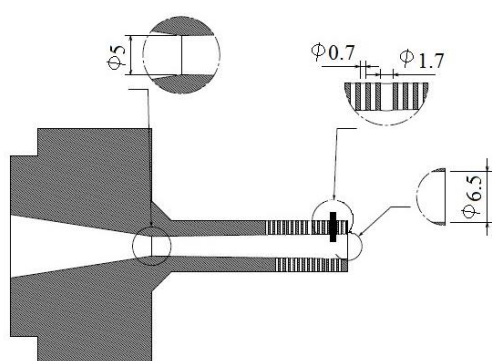
Fig. 2. Image of injection circular port on a flat plate [23]

نصب پروب درون این سوراخ‌ها فشار استاتیک اندازه‌گیری می‌شود. این سوراخ‌ها با فاصله ثابت از یکدیگر ایجاد شده‌اند که با طول قسمت واگرای نازل بی بعد می‌شوند. در شکل ۳ تصویر نازل طراحی شده را می‌توان مشاهده نمود.

همچنین برای نصب برآمدگی، یک سوراخ به قطر  $7/1$  میلی‌متر در فاصله  $5$  میلی‌متری  $X/L = 0/9$  از دهانه خروجی نازل ایجاد شده است. قطر برآمدگی مورد استفاده نیز برابر  $6/1$  میلی‌متر می‌باشد.

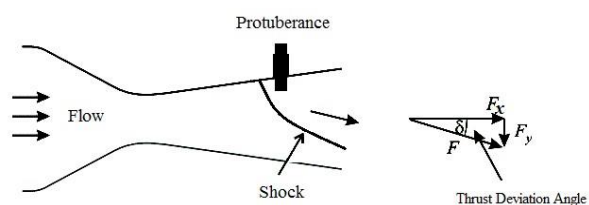
### ۳- تجهیزات آزمایشگاهی و شرایط انجام آزمایش

در کلیه آزمایش‌ها فشار کل جریان که از محفظه آرامش جت اندازه‌گیری شده، ثابت بوده و برابر با  $7/5$  بار تنظیم شده است. فشار روی دیواره نازل،



شکل ۳. شماتیک از نازل طراحی شده مورد استفاده در تحقیق

Fig. 3. Schematic of the designed nozzle used in the research



شکل ۱. شماتیک از تشکیل شوک خمیده و زاویه انحراف جریان اصلی

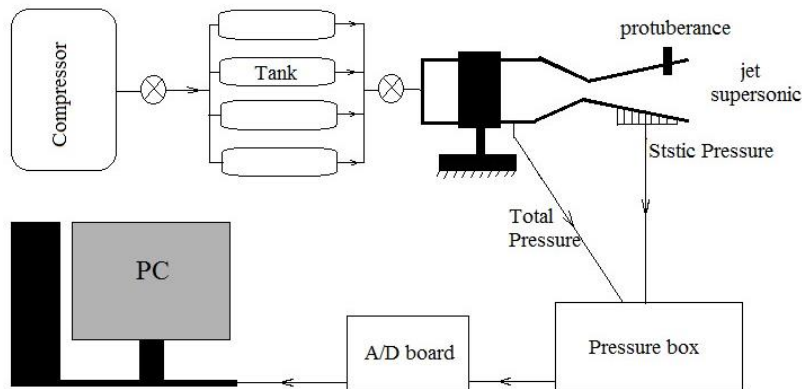
Fig. 1. Schematic of bow shock formation and mainstream deflection angle

می‌شود شوک جدایش در بالادست تزریق شکل بگیرد و در نتیجه لایه مرزی از دیواره جدا شود. شوک خمیده به وجود آمده در جریان اصلی به دلیل جت تزریقی می‌باشد که نیروی اصلی برای انحراف را ایجاد می‌کند. اثرات شوک ضعیف جدایش همراه با شوک خمیده قوی باعث انحراف در جریان اصلی می‌شود. در قسمت داخلی بین سطح و لایه مرزی جدا شده یک منطقه گردشی شکل می‌گیرد که شامل گردابهای در حال چرخش می‌باشد. این گردابهای چرخشی باعث ایجاد شوک لامبدا<sup>۱</sup> قبل از تزریق صورت گرفته می‌شود که سبب حرکت شوک خمیده به بالادست می‌شود. در حقیقت شوک لامبدا از بهم پیوستن شوک جدایش و شوک خمیده شکل می‌گیرد. در تزریق جت روی صفحه تخت، جریان اصلی هنگام عبور از دو طرف جت تزریق شده عبور می‌کند که باعث ایجاد گردابهای خلاف‌گرد در جت تزریق شده و گردابهای نعل اسپی شکل در جریان اصلی می‌شود [۲۰ و ۲۱]. که این موضوع به دلیل نیروی فشاری می‌باشد که از سمت جت تزریق شده اعمال می‌شود که در روش برآمدگی به نظر می‌رسد این نوع شوک‌ها ایجاد نشود. جریان پایین دست تزریق که تا حدی با منطقه فشار کم مطابقت دارد تحت تأثیر حرکت‌های گردابهای قوی قرار دارد [۲۲].

### ۴- مدل آزمایشگاهی

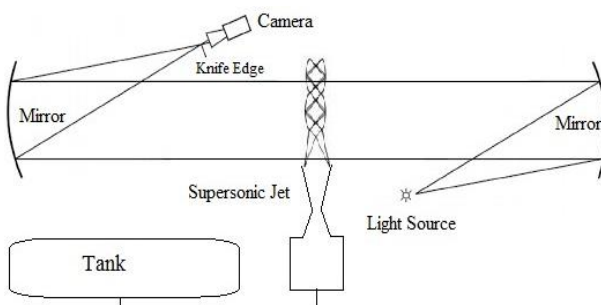
در این پژوهش به منظور بررسی تأثیر یک برآمدگی استوانه‌ای شکل کنترل بردار تراست از یک نازل همگرا-واگرا با عدد ماخ اسامی ۲ طراحی و ساخته شد. نازل از انتهای به یک محفظه آرامش که برای فشار ۳۵ اتمسفر طراحی شده است متصل می‌شود. قطر ورودی نازل ۱۶ میلی‌متر، قطر گلوبگاه ۵ میلی‌متر، قطر خروجی برابر  $5/6$  میلی‌متر است. قسمت واگرای نازل طولی برابر با  $50$  میلی‌متر دارد. به منظور بررسی فشار روی دیواره نازل سوراخ‌هایی با قطر  $7/0$  میلی‌متر روی دیواره نازل در دو طرف طراحی شده است که با

۱ Lambda shock



شکل ۴. شماتیک از سیستم آزمایشگاهی

Fig. 4. Schematic of the experimental setup



شکل ۵. تصویر شماتیک از سیستم شلرین

Fig. 5 Schematic of the Schlieren system

تصویر برداری می‌باشد. در سیستم شلرین از نور سفید استفاده می‌شود و نور انعکاسی توسط دو آینه که از لبه تیغه عبور می‌کند مستقیماً روی لنز دوربین افتاده تصویر برداری می‌شود. این تصویر بر دلیل گرادیان دوم چگالی در محیط بوجود می‌آیند با استفاده از دوربین تصویر برداری ثبت می‌شوند. در شکل ۵ شماتیک تنظیمات آزمایشگاهی برای تصویر برداری شلرین نشان داده شده است. همچنین تصویر این تنظیمات در شکل ۶ نشان داده شده است.

#### ۴- معادلات حاکم و روش حل عددی

در این تحقیق از فرم کامل معادلات ناویر-استوکس در حالت سه بعدی با رویکرد چگالی مبنای<sup>۱</sup> و پایای<sup>۲</sup> استفاده شده است. سیال کاری هوا است که کامل در نظر گرفته شده است. همچنین، از مدل کا اپسیلون آر ان جی با

تصاویر شلرین در حالت بدون برآمدگی و در چند حالت با نفوذ برآمدگی با ارتفاع  $H/D^* = 0/1,0/2,0/3,0/4,0/5$  اندازه‌گیری و ثبت می‌شود. H میزان ارتفاع نفوذ برآمدگی در جریان اصلی و  $D^*$  قطر گلوگاه نازل با هم به صورت پارامتر بی بعد ثبت شده است. برای ایجاد جریان مافوق صوت در نازل از یک کمپرسور هوای فشرده با حداکثر فشار ۱۲ بار استفاده شده است. این کمپرسور به یک مخزن هوای ۵۰۰ لیتری متصل شده است. برای تنظیم فشار داخل محفظه آرامش شبیه ساز جت نیز از یک شیر کروی استفاده شده است. سوراخ‌های فشاری روی دیواره نازل به یک جعبه حسگرهای فشار متصل و طریق کارت داده برداری داده ها به کامپیوتر منتقل می‌شود. در شکل ۴ شماتیک تنظیمات آزمایشگاهی نشان داده شده است.

#### ۳-۱- سنسورهای اندازه گیری فشار

جعبه سنسورها شامل حسگرهای دیفرانسیلی هاگلر است. در این جعبه مجموعه‌ای از حسگرهای فشار وجود دارد که رنج فشارهای متفاوتی را اندازه گیری می‌کنند. این حسگرها قادر به اندازه گیری فشارهای منفی نیز هستند یعنی فشارهای کمتر از فشار اتمسفر محیط را نیز به خوبی نشان می‌دهند. برای اندازه گیری فشار با استفاده از این حسگرها ابتدا باید به دقت کالیبره شوند. کالیبره بدین صورت انجام می‌شود که به هر حسگر چندین فشار اعمال می‌شود سپس با استفاده از یک گیج دقیق فشار این فشارها و مقدار ولتاژی که سنسور در آن حالت نشان می‌دهد ثبت می‌شود و سپس معادله کالیبره هر سنسور به دست می‌آید. این حسگرها از نوع ترافاگ بوده و دقت اندازه گیری آنها ۱/۰ درصد است.

#### ۳-۲- سیستم شلرین

سیستم شلرین شامل منبع نور، آینه‌های مقرع تلسکوپی، تیغه و دوربین

1 Density-base

2 Steady

روابط (۳)، (۴) و (۵) نشان داده شده است.

$$\vec{F}_C = \begin{Bmatrix} \rho u & \rho v & \rho w \\ \rho u^* + p & \rho uv & \rho uw \\ \rho uv & \rho v^* + p & \rho vw \\ \rho uw & \rho vw & \rho w^* + p \\ \rho Eu + pu & \rho Ev + pv & \rho Ew + pw \\ \rho uk & \rho vk & \rho wk \\ \rho u \varepsilon & \rho v \varepsilon & \rho w \varepsilon \end{Bmatrix} \quad (3)$$



شکل ۶. تصویر از سیستم شلرین

Fig. 6. Image of Schlieren system

$$\vec{F}_d = \begin{Bmatrix} \cdot & \cdot & \cdot \\ \tau_{xx} & \tau_{xy} & \tau_{xz} \\ \tau_{yx} & \tau_{yy} & \tau_{yz} \\ \tau_{zx} & \tau_{zy} & \tau_{zz} \\ u \tau_{xx} & v \tau_{yy} & w \tau_{zz} \\ \alpha_k \mu_{eff} \frac{\partial k}{\partial x} & \alpha_k \mu_{eff} \frac{\partial k}{\partial y} & \alpha_k \mu_{eff} \frac{\partial k}{\partial z} \\ \alpha_\varepsilon \mu_{eff} \frac{\partial \omega}{\partial x} & \alpha_\varepsilon \mu_{eff} \frac{\partial \omega}{\partial y} & \alpha_\varepsilon \mu_{eff} \frac{\partial \omega}{\partial z} \end{Bmatrix} \quad (4)$$

$$\vec{Q} = \begin{Bmatrix} \cdot \\ \cdot \\ \cdot \\ \cdot \\ G_k + G_b - \rho \varepsilon - Y_m + S_k \\ C_{\varepsilon} \frac{\varepsilon}{k} (G_k + C_{\varepsilon} G_b) - C_{\varepsilon} \rho \frac{\varepsilon^*}{k} - R_{\varepsilon} + S_{\varepsilon} \end{Bmatrix} \quad (5)$$

در این روابط  $u$  سرعت در جهت محور  $X$ ، مؤلفه  $v$  سرعت در جهت محور  $Y$ ، مؤلفه  $w$  سرعت در جهت محور  $Z$  می‌باشد. مؤلفه  $K$  انرژی، مؤلفه  $\rho$  چگالی، مؤلفه  $\tau$  تنش، مؤلفه  $\varepsilon$  ویسکوزیته مؤثر است. ترمونهای دیگر در ماتریس  $Q$  ترمونهای  $\mu_{eff}$  ویسکوزیته مؤثر است. با توجه به ماقوی صوت بودن چشممه موجود در معادلات  $K$  و  $\varepsilon$  می‌باشند. با توجه به ماقوی ضرب میدان جریان و حضور جریان‌های با آنتالپی نسبتاً بالا، وابستگی ضرب جریان آرام به دما، انکار ناپذیر می‌باشد. به همین دلیل، ضرب لزجت با استفاده از رابطه ساترنل، به دست آمده است.

#### ۴-۱- مشخصات هندسی و شرایط مرزی

در این تحقیق، یک نازل با همان سایز نازل ساخته شده طراحی شد. محیطی استوانه‌ای شکل در جلوی نازل با شعاع ۱۵۰ میلی‌متر و طول ۳۵۰ میلی‌متر بهمنظور تخلیه جت در اتمسفر در نظر گرفته شد. برای میدان هو

استفاده از نرمافزار فلوئنت<sup>۱</sup> برای مدل‌سازی آشفتگی جریان استفاده شده است. برای حل معادلات حاکم، از رویکرد حجم محدود استفاده شده است. برای تخمین شار ناشی از عبارت جابجایی از روش رو<sup>۲</sup> و برای تخمین شار پخشی نیز از روش تفاضل مرکزی استفاده شده است. همچنین، روش ضمنی<sup>۳</sup> برای حل دستگاه معادلات به کار رفته است. دقت حل عددی نیز مرتبه دو<sup>۴</sup> می‌باشد. رابطه (۱)، شکل انتگرالی معادلات بقا را برای متغیرهای دلخواه  $W$  در یک جریان تراکم-پذیر آشفته با متوسط گیری رینولدز، نشان داده شده است.

$$\frac{\partial}{\partial t} \int_{\Omega} \vec{w} d\Omega + \oint_{\partial\Omega} (\vec{F}_C - \vec{F}_d) ds = \int_{\Omega} \vec{Q} d\Omega \quad (1)$$

در رابطه بالا، برای حجم کنترل  $\Omega$  و  $\partial$  نشان دهنده سطح کنترل می‌باشد. اولین بخش از معادله بالا، نشان دهنده تغییرات زمانی  $W$  در حجم کنترل  $\Omega$  بوده و قسمت دوم، شارهای عبوری جابجایی و پخش متغیر  $W$  را از سطح کنترل نشان می‌دهد. پارامتر سمت راست معادله  $Q$ ، تولید چشممه را در مرکز حجم کنترل نشان می‌دهد. متغیر  $W$  شامل مؤلفه‌های بقایی در رابطه (۲) است.

$$\vec{w} = [\rho, \rho u, \rho v, \rho w, \rho E, \rho k, \rho \varepsilon]^T \quad (2)$$

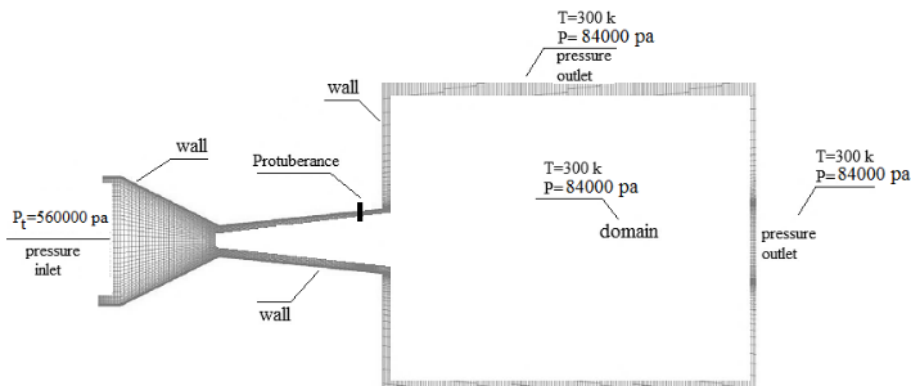
جمله‌های جابجایی ( $F_d$ )، پخش ( $F_C$ ) و چشممه ( $Q$ ) به ترتیب با

1 Fluent

2 Roe

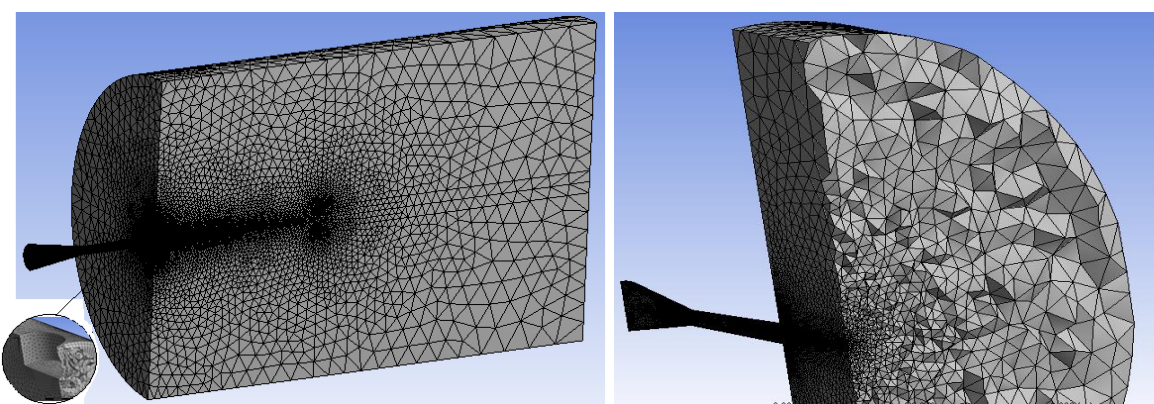
3 Implicit

4 Second order



شکل ۷. تصویر شرایط مرزی

Fig. 7. Image of boundary conditions



شکل ۸. تصویر شبکه‌بندی نازل

Fig. 8. Nozzle meshing image

می‌شود.

#### ۴-۲- تولید شبکه

برای ایجاد شبکه حل، هندسه‌ی تولید شده وارد نرم‌افزار انسیس مش<sup>۴</sup> شده است. با توجه به پیچیده بودن مسئله شبکه از نوع بی‌سازمان و مدل چهارضلعی هرمی شکل<sup>۵</sup> انتخاب شده است. شبکه‌بندی هندسه میدان جریان در جلو نازل و خود نازل در شکل ۸ ارائه شده است. همچنین، در نواحی نزدیک به دیواره به دلیل تغییرات شدید میدان جریان در لایه‌مرزی، از یک شبکه فشرده با سازمان استفاده شده است. همچنین در اطراف برآمدگی درون نازل شبکه‌بندی به اندازه کافی ریز شده است تا قادر به نشان دادن تغییرات جزئی و شوک‌های شکل گرفته باشد.

4 Ansys Meshing

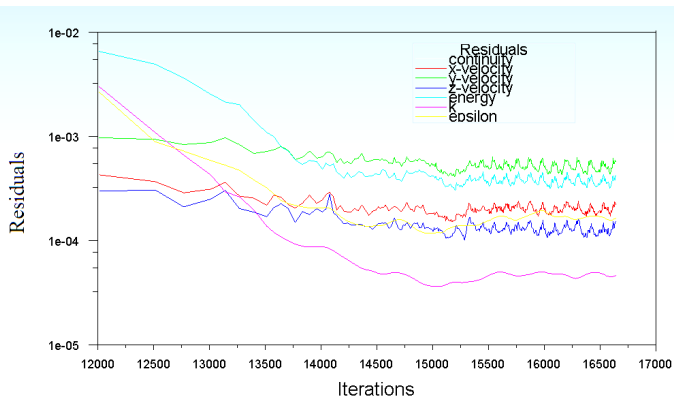
5 Tetrahedral

و هوای فشرده ورودی به نازل دو شرط ورودی وجود دارد. نوع شرط مرزی فشار ورودی<sup>۱</sup> در ورودی نازل انتخاب شده است که در آن هوا با دمای ۳۰۰ کلوین و فشار ۸۴۰۰۰ پاسکال بر کل میدان اعمال می‌شود. همچنین برای ورودی نازل شرط مرزی فشار خروجی<sup>۲</sup> در نظر گرفته شده است که در آن هوا با فشار کل ۵۶۰۰۰۰ پاسکال و فشار استاتیک ۵۵۹۸۰۰ و دمای ۳۰۰ کلوین وارد نازل می‌شود. با توجه به مشخص نبودن دما و فشار در خروجی، شرط در خروجی دامنه در نظر گرفته شده است. دیواره نازل و اطراف محیط تخلیه جت شرط مرزی دیوار<sup>۳</sup> در نظر گرفته شده است. به علت جلوگیری از تأثیر شرایط دیوار بر حل میدان هوا دو شرط عدم لغزش سیال و عایق بودن دیوار در نظر گرفته شده است. در شکل ۷ تصویر شرایط مرزی مشاهده

1 Pressure inlet

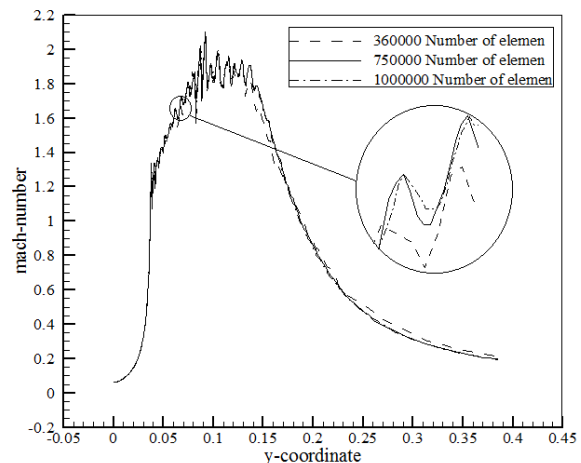
2 Pressure outlet

3 wall



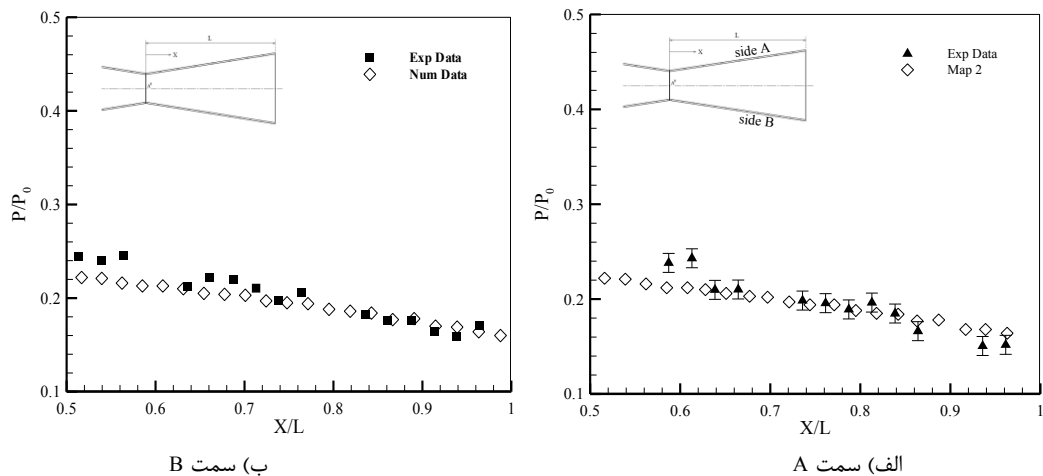
شکل ۱۰. فرآیند همگرایی

Fig. 10. Convergence process



شکل ۹. تغییرات عدد ماخ روی مرکز نازل با شبکه بندی مختلف

Fig. 9. Changes in Mach number on the center of the nozzle with different mesh



شکل ۱۱. نمودار تغییرات فشار استاتیک در دیواره نازل

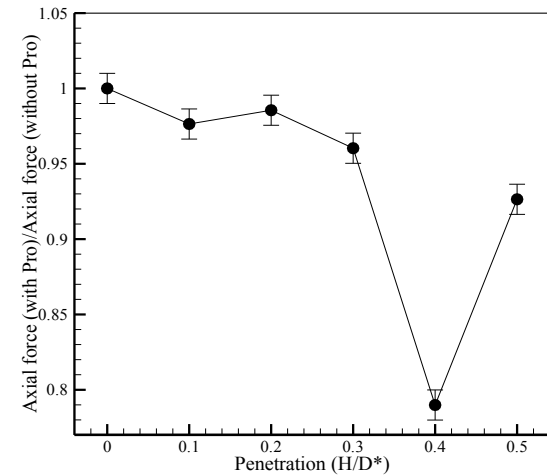
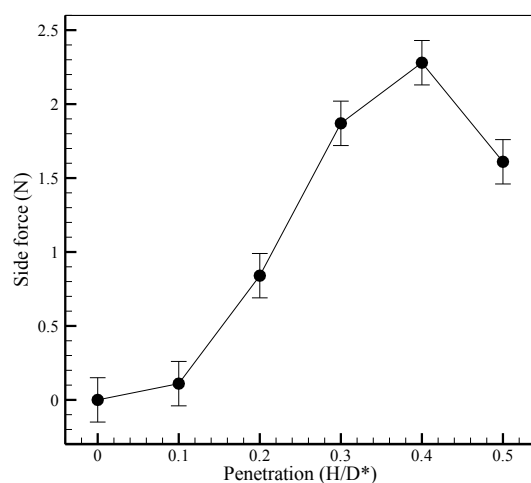
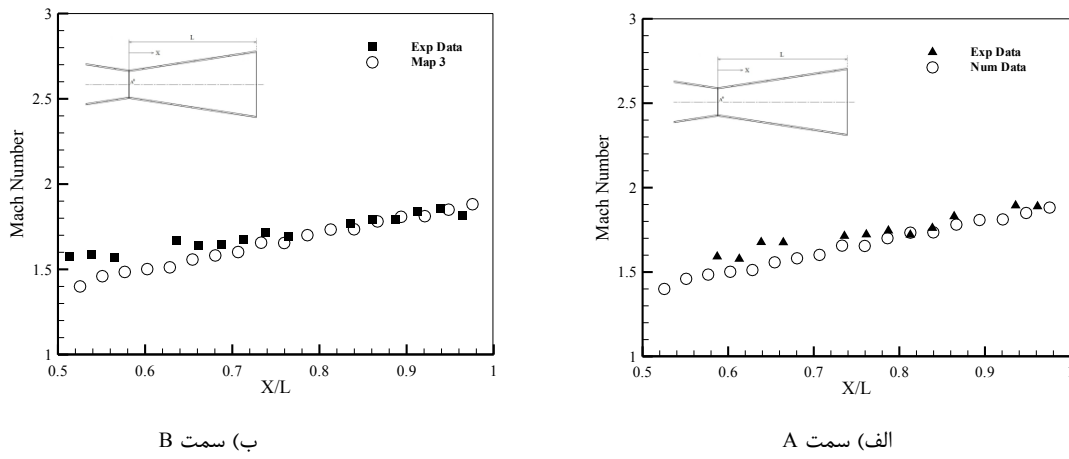
Fig. 11. Diagram of static pressure changes in the nozzle wall

## ۵- نتایج و بحث

### ۱- ارزیابی نازل بدون حضور برآمدگی

برای ارزیابی نتایج تجربی، توزیع فشار روی دیواره نازل اندازه‌گیری شد برای این منظور سوراخ‌های فشاری روی دیواره نازل است با استفاده از اتصالات هوای فشرده به سنسورهای اندازه‌گیری فشار متصل شده است. سیستم در نسبت فشار نازل تنظیم شده است. موقعیت نقاط اندازه‌گیری فشار روی دیواره با طول کل قسمت واگرای نازل بی بعد شده است ( $X/L$ ). فشار استاتیک روی دیواره نیز با فشار کل ورودی به نازل بی بعد شده است ( $P/P_0$ ). در شکل ۱۱ تغییرات فشار استاتیکی همراه با محدوده خطای اندازه‌گیری شده فشار توسط سنسورها نشان داده شده است. این میزان

در این مقاله، از سه شبکه‌ی مختلف به منظور بررسی استقلال حل از شبکه استفاده شده است. شبکه در کلیه‌ی شبیه‌سازی‌ها به اندازه‌های ریز شده که مقدار  $y^+$  روی دیواره نازل بین  $30$  تا  $300$  باشد. البته در خروجی نازل به دلیل وجود شوک‌های قطاری و تغییرات زیاد سرعت در این ناحیه مقدار  $y^+$  اندکی کمتر از  $30$  شد. در شکل ۹ می‌توان تغییرات عدد ماخ روی خط مرکزی نازل را با شبکه‌بندی‌های مختلف مشاهده نمود. این نتایج نشان می‌دهد که تغییرات عدد ماخ بین شبکه متوسط و ریز ناچیز است لذا، در سایر شبیه‌سازی‌ها از شبکه‌بندی متوسط به عنوان شبکه مبنا استفاده شده است. در شکل ۱۰ می‌توان فرآیند همگرایی را مشاهده نمود.



۵-۲- ارزیابی اثرات حضور برآمدگی بر میدان جریان برای بررسی اثرات میزان نفوذ برآمدگی بر بردار پیشرانش نازل، برآمدگی استوانه‌ای شکل در موقعیت‌های  $X/L = 0/9$  نصب می‌شود که  $X$  موقعتی نصب و  $L$  طول قسمت واگرای نازل می‌باشد. میزان نفوذ برآمدگی که با قطر  $H/D^*$  برابر شده در چند حالت  $= 0/10, 0/20, 0/30, 0/40, 0/5$  مورد بررسی قرار گرفته است.

در شکل‌های ۱۳ و ۱۴ تغییرات نیروی محوری و جانبی وارد شده بر نازل در میزان نفوذ مختلف و در نسبت فشار نازل  $6/6$  نشان داده شده است. همچنین، نیروهای محوری برای مقایسه بهتر با مقدار نیروی محوری در

خطا برای فشار در تمام فشارهای اندازه‌گیری شده در این تحقیق ثابت می‌باشد. برای اطمینان از تکرارپذیری نتایج، توزیع فشار بر روی دیواره نازل در چند مرحله اندازه‌گیری شد که تغییرات خاصی در آن مشاهده شد. بروی دیواره‌های نازل را نشان داده است. در شکل ۱۲ نیز تغییرات عدد ماخ درون نازل بروی دیواره‌ها نشان داده شده است.

نتایج نشان می‌دهد که تطابق خوبی بین داده‌های تجربی و نتایج عددی وجود دارد. این اختلاف در برخی نقاط بسیار ناچیز می‌باشد که می‌تواند به دلیل خطای حسگرهای فشار یا اختلاف جزیی فشار تنظیم فشار کل در نتایج تجربی باشد.

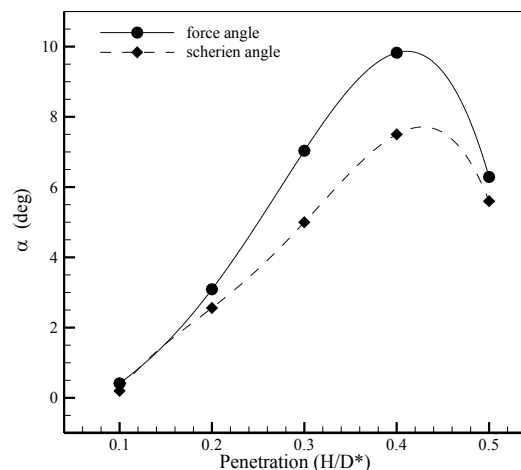
$$\alpha = \tan^{-1} \left( \frac{F_s}{F_a} \right) \quad (6)$$

همچنین، زاویه انحراف جریان از متوسط گیری زاویه مرزهای بالایی و پایینی توده جت خروجی (رابطه (۷)) به دست آمده است.

$$\alpha_{ave} = \frac{\alpha_l + \alpha_u}{2} \quad (7)$$

در میزان نفوذ  $H/D^* \leq 0.4$  نیروی پیشرانش محوری کاهش می‌یابد و در نتیجه نیروی جانبی و مقدار زاویه انحراف بردار پیشرانش افزایش یافته است. در حالی که در میزان نفوذ  $H/D^* > 0.4$  روند معکوس شده است و از میزان مطلوب در حال فاصله گرفتن است. بیشترین مقدار انحراف زاویه بردار پیشرانش در میزان نفوذ  $H/D^* = 0.4$  می‌باشد که به  $9/8$  درجه رسیده است.

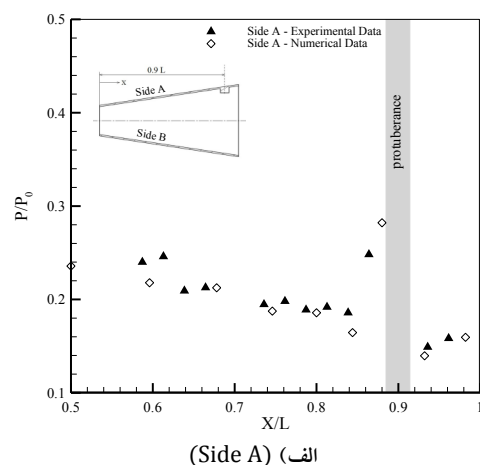
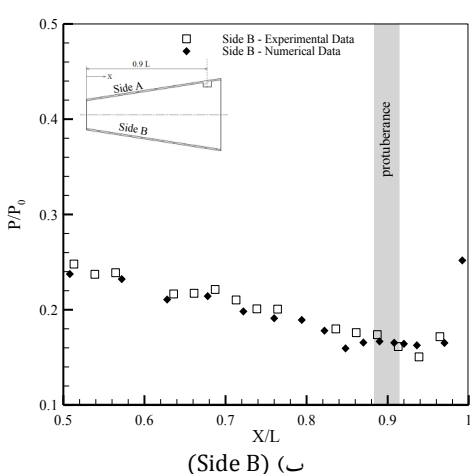
برای درک بهتر فیزیک جریان، اثرات ناشی از مقدار نفوذ برآمدگی در  $H/D^* = 0.1$ ، توزیع فشار روی دیوارهای نازل در شکل ۱۶ نشان داده شده است. در شکل ۱۶ توزیع فشار روی دیوار A ( محل نصب برآمدگی) و B به صورت عددی و تجربی آمده است. این نتایج نشان می‌دهد که شبیه‌سازی‌های عددی و تجربی در این حالت از تطابق بسیار خوبی برخوردار است. فشار در بالا دست محل حضور برآمدگی افزایش و در پایین دست آن کاهش می‌یابد که به علت اثرات انسدادی برآمدگی در درون جریان است. نتایج نشان می‌دهند در این حالت یک شوک که به واسطه برآمدگی ایجاد شده است به لبه خروجی نازل در سمت B برخورد کرده و سپس منعکس می‌شود و از نازل خارج می‌شود. این شوک منعکس شده را در



شکل ۱۵. نمودار تغییرات زاویه انحراف در میزان نفوذهای مختلف برآمدگی

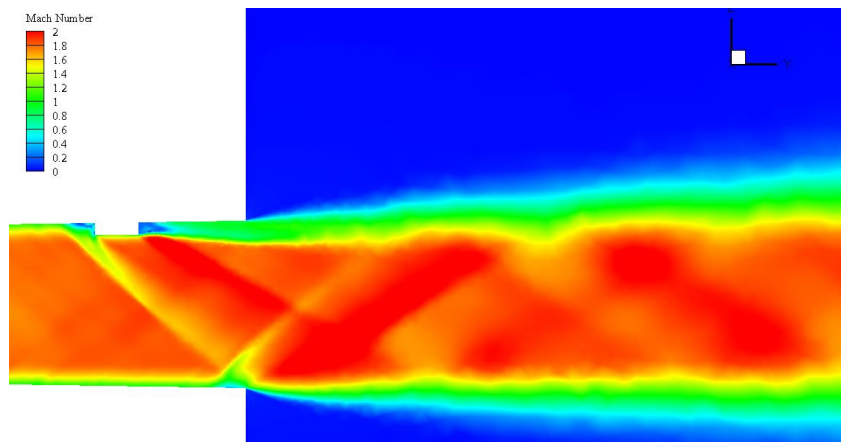
Fig. 15. Graph of deviation angle changes in different protuberance penetration ratios

حالی که برآمدگی وجود ندارد بی بعد شده است. این نتایج نشان می‌دهد با اعمال برآمدگی در درون نازل میزان نیروی پیشرانش محوری کاهش می‌یابد. در میزان نفوذ  $H/D^* = 0.2$  کمترین کاهش پیشرانش و در  $H/D^* = 0.4$  بیشترین کاهش پیشرانش مشاهده می‌شود. در شکل ۱۵ زاویه بردار تراست به دست آمده از نیرو و تصاویر شلرین در میزان نفوذ مختلف نشان داده شده است. در این شکل، زاویه بردار تراست برای نیرو از رابطه (۶) به دست آمده است.



شکل ۱۶. نمودار توزیع فشار روی دیواره نازل در میزان نفوذ ۰.۱

Fig. 16. Diagram of pressure distribution on the nozzle wall in  $H/D^* = 0.1$



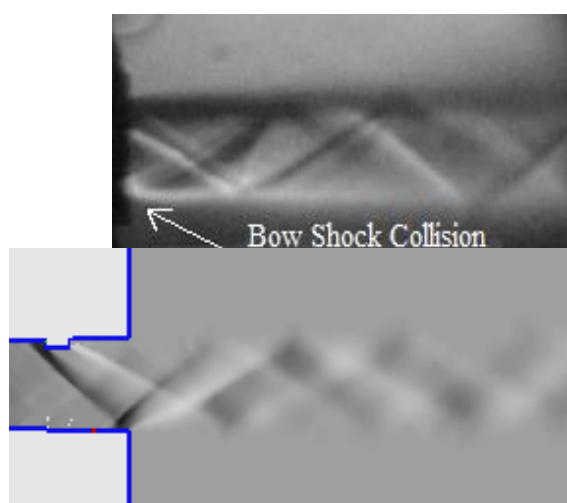
شکل ۱۷. کانتور عدد ماخ در  $H/D^* = 0.1$  و  $NPR = 6/6$

Fig. 17. Mach number contour in  $H/D^* = 0.1$  and  $NPR = 6/6$

نزدیکی دیواره B شکل گرفته که موجب جدایش جریان در این ناحیه شده است. بررسی تغییرات ضربی فشار بر دیواره B در حالت تجربی (شکل ۱۹-ب) نیز این موضوع را به صورت یک افزایش فشار در نزدیکی خروجی نازل نشان می‌دهد.

در شکل ۲۲ کانتور فشار در چند مقطع در طول نازل ارائه شده است. در این کانتور خطوط جریان نیز رسم شده است تا بتوان درک بهتری از فیزیک جریان داشت. در مقاطع ترسیم شده قبل از برآمدگی می‌توان مشاهده نمود که جریان در حال عبور از درون نازل در شرایط عادی می‌باشد تا به مکانی

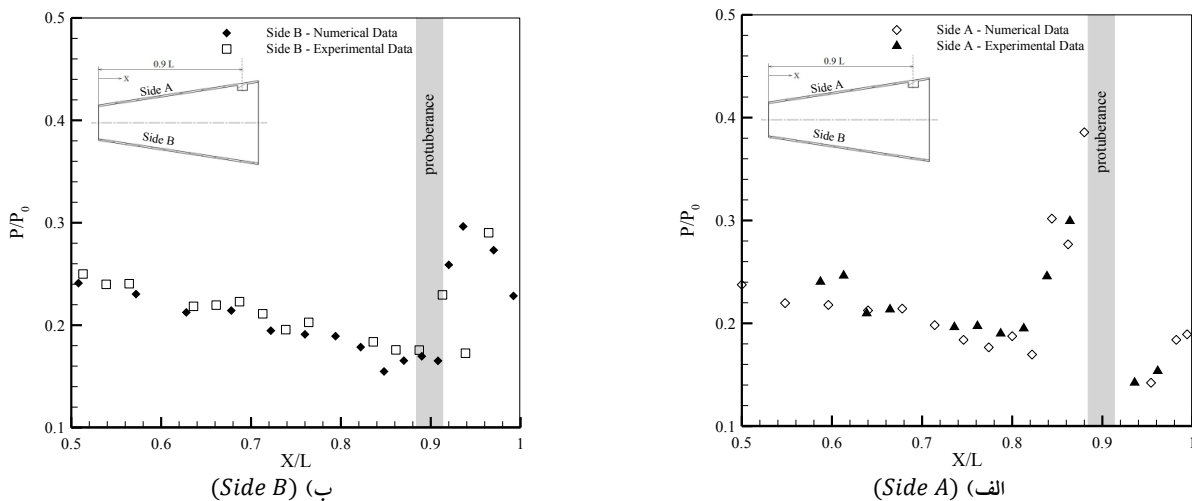
تصویر کانتور عدد ماخ در شکل ۱۷ و در تصاویر شلرین تجربی و عددی در شکل ۱۸ مشاهده نمود. شوک جدایش که قبیل از برآمدگی تشکیل شده با شوک خمیده که به واسطه برآمدگی ایجاد شده در نقطه‌ای به هم پیوسته و تشکیل شوک لامبدا می‌دهند. در شکل کانتور عدد ماخ یک ناحیه با فشار متفاوت و ابعاد کوچک (با رنگ زرد در دو شکل مشخص است) بین دو شوک ایجاد شده که زمانی که میزان نفوذ برآمدگی در جریان اصلی کمتر باشد قابل مشاهده است. همچنین، در پایین دست برآمدگی نیز یک ناحیه دنباله تشکیل شده است که یک شوک به واسطه آن تشکیل شده که به صورت مستقیم از نازل خارج شده است.



شکل ۱۸. تصویر شلرین در میزان نفوذ  $H/D^* = 0.1$

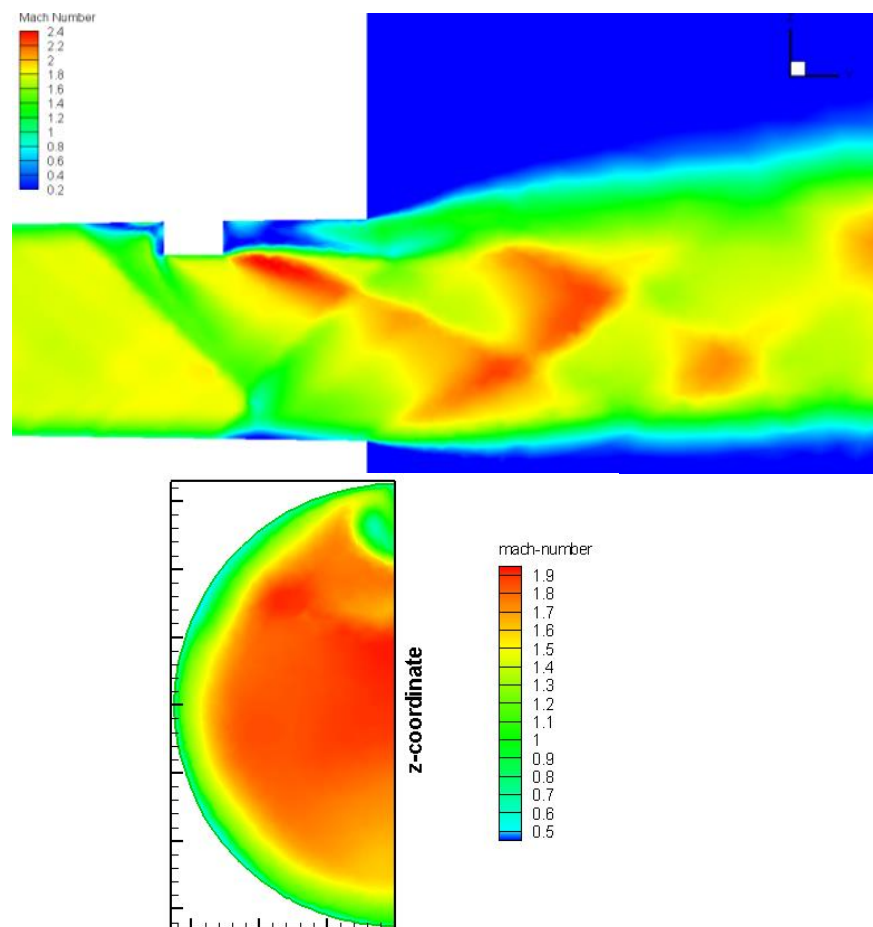
Fig. 18. Schlieren image in  $H/D^* = 0.1$

در شکل ۱۹-الف قبل از برآمدگی، بر روی دیواره A نازل، فشار افزایش یافته است که نشان دهنده ایجاد یک شوک در این ناحیه می‌باشد. پس از برآمدگی فشار در سمت دیواره A یک کاهش شدید را نشان می‌دهد که ناشی از اثرات انسدادی برآمدگی در این ناحیه می‌باشد [۱۴]. در واقع این ناحیه همان ناحیه دنباله پشت برآمدگی است که تقریباً تا انتهای نازل امتداد یافته است. کانتورهای عدد ماخ در این حالت نیز که در شکل ۲۰ نشان داده شده است وجود این ناحیه را در پایین دست برآمدگی نشان می‌دهد. الگوی جریان شبیه‌سازی شده در این حالت با تصاویر شلرین جریان خروجی از نازل در شکل ۲۱ نشان داده شده است. این نتایج نشان می‌دهد که الگوی جریان شبیه‌سازی شده با نتایج تجربی از هم خوانی بسیار خوبی برخوردار است. همچنین، مشاهده می‌شود که شوک شکل گرفته در بالا دست برآمدگی به صورت با قاعده به دیواره مقابل برخورد نکرده و یک دیسک ماخ در



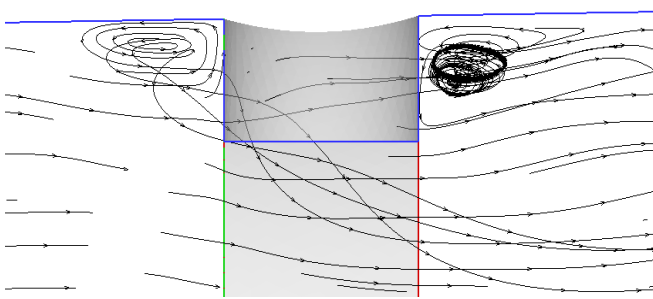
شکل ۱۹. نمودار توزیع فشار روی دیواره نازل در میزان نفوذ  $H/D^* = 0.2$

Fig. 19. Diagram of pressure distribution on the nozzle wall in  $H/D^* = 0.2$



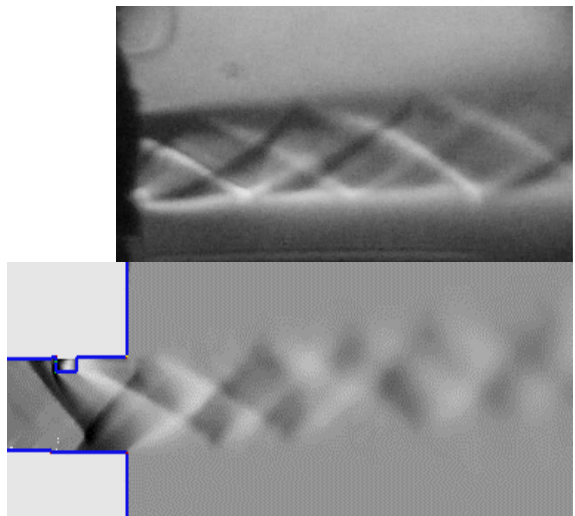
شکل ۲۰. کانتور عدد ماخ در  $H/D^* = 0.2$  و  $NPR = 6.6$

Fig. 20. Mach number contour in  $H/D^* = 0.2$  and  $NPR = 6.6$



شکل ۲۳. خطوط جریان درون نازل در حالت  $H/D^* = 0.2$

Fig. 23. Flow lines inside the nozzle in  $H/D^* = 0.2$

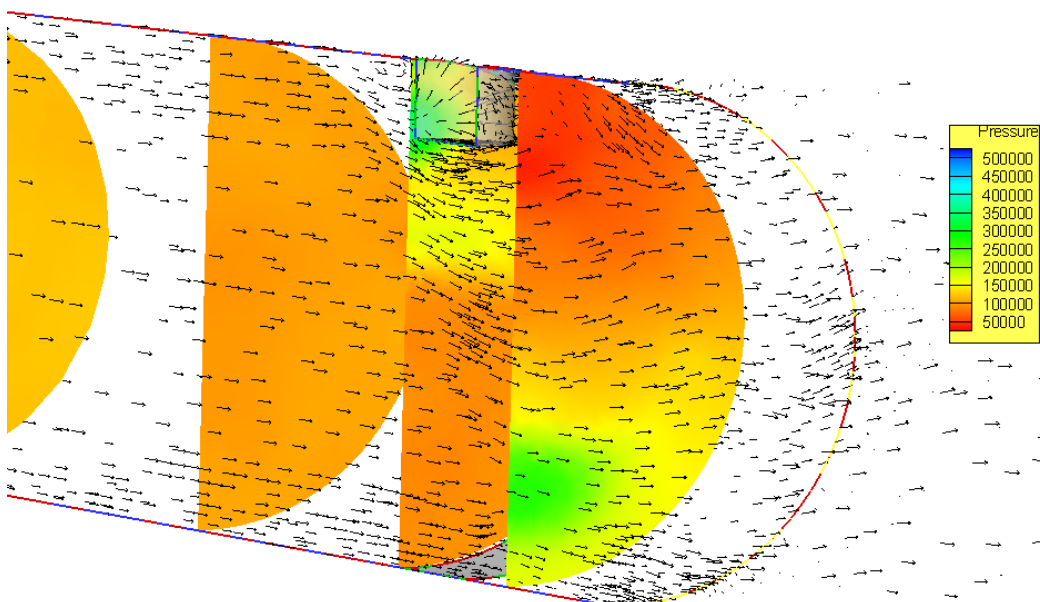


شکل ۲۱. تصویر شلرین در میزان نفوذ  $H/D^* = 0.2$

Fig. 21. Schlieren image in  $H/D^* = 0.2$

مشاهده کرد. با افزایش میزان نفوذ برآمدگی در درون جریان ضرب فشار در بالا دست نیز از افزایش قابل توجهی برخوردار شده است. این نشان می‌دهد شوک شکل گرفته در بالادست برآمدگی با افزایش نفوذ برآمدگی، قوی‌تر شده است. همچنین، محل تشکیل شوک خمیده بالادست بیشتر با افزایش میزان نفوذ، به سمت گلوگاه نازل منتقل شده است. در شکل ۲۴ توزیع فشار روی دیواره نازل با میزان نفوذ  $H/D^* = 0.3$  نشان داده شده است. نتایج نشان می‌دهد در این حالت شوک تشکیل شده نسبت به حالت  $H/D^* = 0.2$  به گلوگاه نزدیک‌تر شده و ناحیه دنباله‌ای که در بالادست

که برآمدگی اعمال شده می‌رسد در این موقعیت طبق کانتور رسم شده مشاهده می‌شود که یک افزایش فشار قبل از برآمدگی ایجاد می‌شود. در شکل ۲۳ خطوط جریان در داخل نازل نشان داده شده است. در این تصویر گردابه‌های ایجاد شده قبل و بعد از برآمدگی مشاهده می‌شوند. همچنین، انحراف جریان به‌واسطه حضور برآمدگی و شوک ایجاد شده را می‌توان



شکل ۲۲. کانتور فشار در  $H/D^* = 0.2$  و  $NPR = 6.6$  در مقاطع مختلف

Fig. 22. Pressure contour in  $H/D^* = 0.2$  and  $NPR = 6.6$  at different levels



شکل ۲۵. تصویر شلرین در میزان نفوذ  $H/D^* = 0.3$

Fig. 25. Schlieren image in  $H/D^* = 0.3$

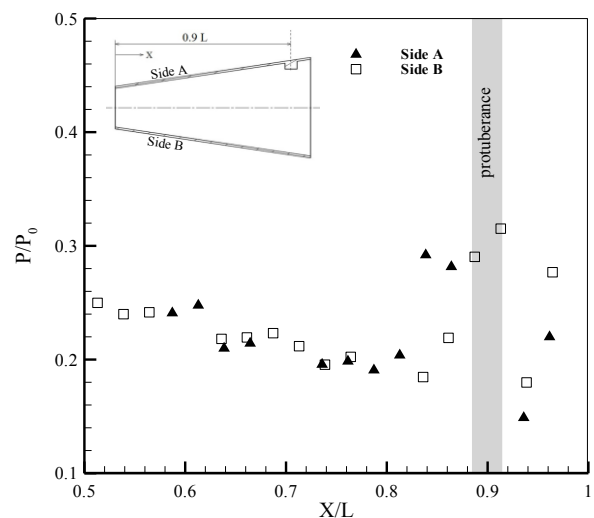
مشاهده می‌شود. نتایج نشان می‌دهد شوک تشکیل شده به بالادست منتقل شده است. این تغییرات در شکل ۲۶-الف مشاهده می‌شود. کانتور عدد ماخ نیز در شکل ۲۷ نشان داده شده است که نشان می‌دهد یک شوک بسیار قوی در بالادست برآمدگی تشکیل شده است. در سمت دیوار B نازل در شبیه‌سازی عددی دو موج شوک را در بالادست نشان می‌دهد که در شکل

۲۶-ب و تصویر شلرین در شکل ۲۸ مشاهده می‌شود.

در شکل ۲۹ تغییرات توزیع فشار در حالت  $H/D^* = 0.5$  مشاهده می‌شود. در این حالت تغییرات نسبت فشار بسیار بیشتر از حالت‌های قبلی است. همچنین، تصویر شلرین در این حالت در شکل ۳۰ مشاهده می‌شود.

## ۶- نتیجه گیری

در این تحقیق از یک برآمدگی استوانه‌ای شکل به عنوان یک روش ساده و جدید در کنترل پیشان یک نازل مافوق صوت با عدد ماخ ۲



شکل ۲۴. نمودار توزیع فشار روی دیواره نازل در میزان نفوذ

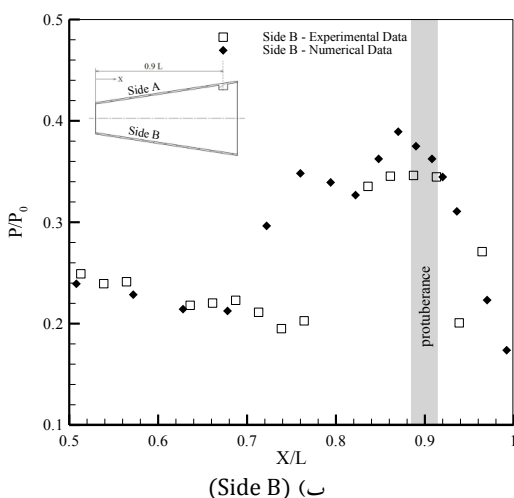
$H/D^* = 0.3$

Fig. 24. Diagram of pressure distribution on the nozzle wall in  $H/D^* = 0.3$

برآمدگی تشکیل شده است افزایش یافته است. همچنین، در این حالت تغییرات فشار روی دیواره در مقایسه با حالت قبل افزایش بیشتری داشته و شوک تشکیل شده با قدرت بیشتری به دیوار مقابل برخورد کرده است.

در شکل ۲۵ تصویر شلرین تجربی مشاهده می‌شود. یک شوک روی دنباله تشکیل شده در پایین دست برآمدگی شکل گرفته است. و از نازل خارج شده است که در شکل ۲۵ با نام شوک پایین دست نام‌گذاری شده است.

در شکل ۲۶ نمودار توزیع فشار روی دیواره نازل در حالت  $H/D^* = 0.4$



شکل ۲۶. نمودار توزیع فشار روی دیواره نازل در میزان نفوذ  $H/D^* = 0.4$

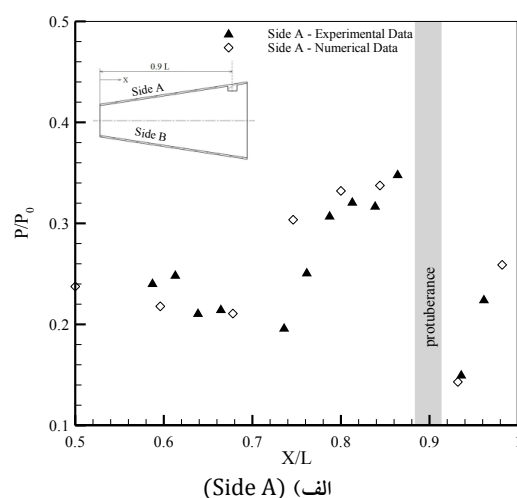
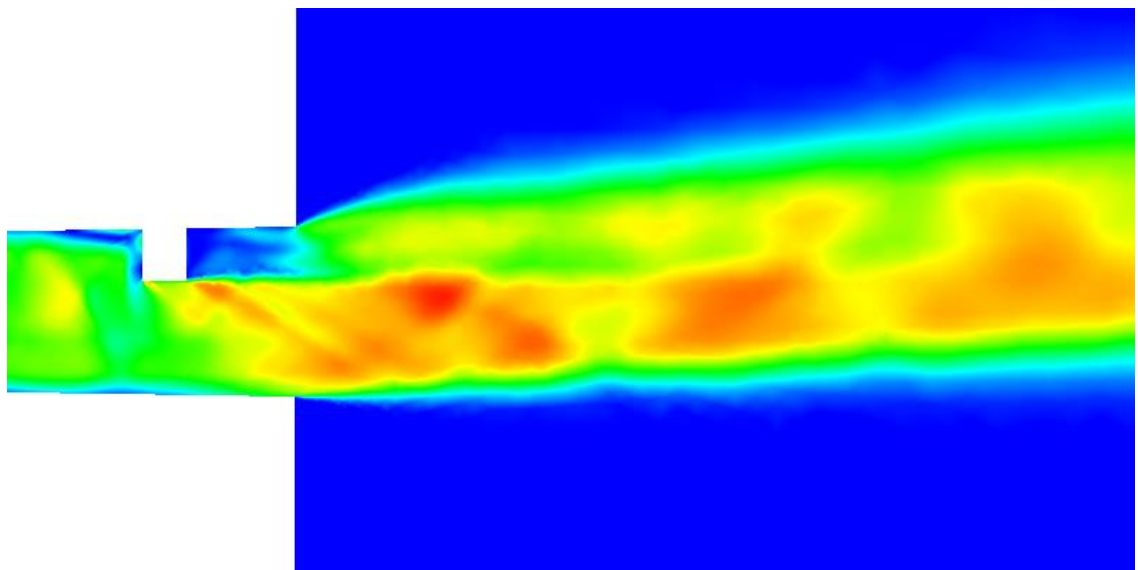
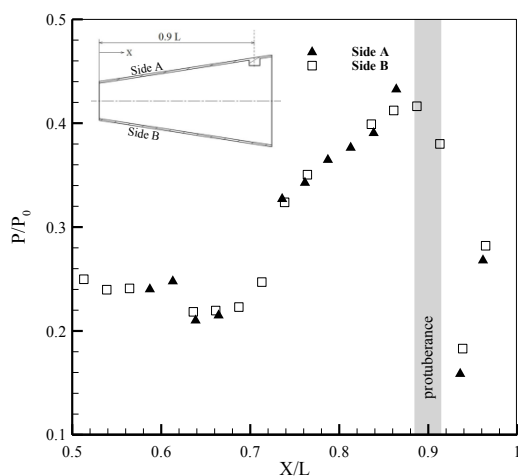


Fig. 26. Diagram of pressure distribution on the nozzle wall in  $H/D^* = 0.4$



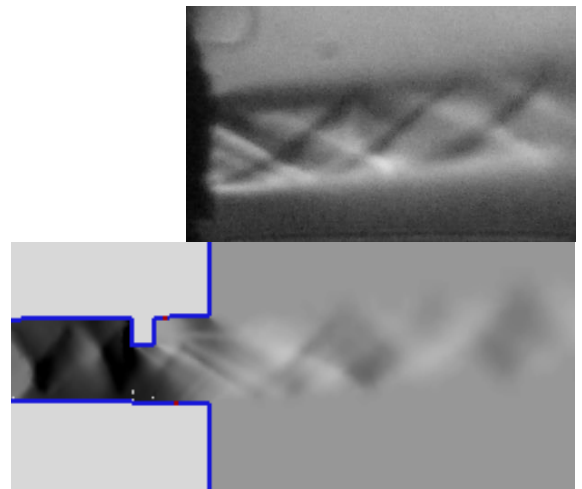
شکل ۲۷. کانتور عدد مах  $H/D^* = 0.4$  و  $NPR = 6.6$

**Fig. 27. Mach number contour in  $H/D^* = 0.4$  and  $NPR = 6.6$**



شکل ۲۹. نمودار توزیع فشار روی دیواره نازل در میزان نفوذ  $H/D^* = 0.5$

**Fig. 29. Diagram of pressure distribution on the nozzle wall in  $H/D^* = 0.5$**

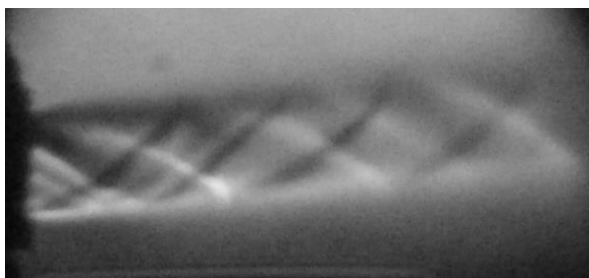


شکل ۲۸. تصویر شلرین در میزان نفوذ  $H/D^* = 0.4$

**Fig. 28. Schlieren image in  $H/D^* = 0.4$**

به منظور اعتبارسنجی داده‌ها نتایج تجربی و عددی با در توزیع فشار روی دیواره نازل و تصاویر شلرین با هم مقایسه شد که تطابق خوبی با هم دارند. داده‌های حاصل از اندازه‌گیری فشار نشان می‌دهند که قبل از برآمدگی فشار به شدت افزایش یافته که ناشی از تشکیل یک دنباله و یک شوک کامنی در این ناحیه می‌باشد و یک ناحیه دنباله در پشت برآمدگی شکل گرفته که موجب افزایش فشار در این ناحیه شده است. پس از برآمدگی فشار کاهش شدیدی یافته که نشان دهنده اثرات انسدادی برآمدگی است که یک

مورد بررسی قرار گرفت. برآمدگی هر مرحله در قسمت واگرای نازل در میزان نفوذ  $H/D^* = 0.4 / 0.5 / 0.6 / 0.7 / 0.8 / 0.9$  و با موقعیت ثابت  $X/L = 0.1 / 0.2 / 0.3 / 0.4 / 0.5 / 0.6 / 0.7 / 0.8 / 0.9$  قرار گرفت. فشار روی دیواره اندازه‌گیری شد و موقعیت شوک‌های تشکیل شده مشخص گردید. تصاویر شلرین نیز ثبت شد. شبیه سازی عددی در دو حالت صورت گرفت. داده‌های عددی با استفاده از حل معادلات ناویر-استوکس به دست آمده است. همچنین، از مدل آشفتگی کاپسیلون آران جی برای مدل‌سازی جریان درون نازل بهره گرفته شده است.



شکل ۳۰. تصویر شلرین در میزان نفوذ  $H/D^* = 0.5$

Fig. 30. Schlieren image in  $H/D^* = 0.5$

[3] R.D. Guhse, An experimental investigation of thrust vector control by secondary injection, PURDUE UNIV LAFAYETTE IN, 1965.

[4] R. Balu, A. Marathe, P. Paul, H. Mukunda, Analysis of performance of a hot gas injection thrust vector controlsystem, Journal of Propulsion and Power, 7(4) (1991) 580-585.

[5] H. Hollstein, Rockets, Jet tab thrust vector control, Journal of Spacecraft, 2(6) (1965) 927-930.

[6] R. Eatough, Jet tab thrust vector control system demonstration, in: 7th Propulsion Joint Specialist Conference, 1971, pp. 752.

[7] J. Simmons, C. Gourlay, B. Leslie, Power, Flow generated by ramp tabs in a rocket nozzle exhaust, Journal of Propulsion, 3(1) (1987) 93-95.

[8] J. Hileman, M. Samimy, Effects of Vortex Generating Tabs on Noise Sources in an Ideally Expanded Mach 1.3 Jet, International Journal of Aeroacoustics, 2(1) (2003) 35-63.

[9] B.C. Phanindra, E. Rathakrishnan, Corrugated tabs for supersonic jet control, AIAA journal, 48(2) (2010) 453-465.

[10] S.Z. Zivkovic, M.M. Milinovic, P.L. Stefanović, P.B. Pavlovic, N.I. Gligorijevic, Experimental and simulation testing of thermal loading in the jet tabs of a thrust vector control system, Thermal Science, 20 (2016) S275-S286.

ناحیه دنباله نیز در این مکان تشکیل شده است. نتایج نشان می‌دهد.

- با افزایش ارتفاع برآمدگی، شوک خمیده قوی‌تر شده و به سمت گلوگاه نازل حرکت می‌کند.

بررسی همزمان تصاویر شلرین و داده‌های فشاری نشان می‌دهد که شوک خمیده در حالت‌هایی که  $H/D^* = 0.1$  است به دیواره مقابل برخورد کرده است. در این حالت‌ها، جهت خروج جت معکوس شده است.

- با افزایش میزان نفوذ برآمدگی، زاویه انحراف جت خروجی تا  $8/9$  درجه در  $H/D^* = 0/4$  افزایش یافته است. البته در مقادیر نفوذ بالاتر، میزان انحراف جریان تغییرات چشمگیری را نشان نمی‌دهد.

حضور برآمدگی علاوه بر تغییر راستای جریان موجب کاهش ناچیز نیروی پیشرانش جت نیز شده است.

## ۷- فهرست علائم

### مراجع

[1] G.P. Sutton, O. Biblarz, Rocket propulsion elements, John Wiley & Sons, 2016.

M.R. Heidari, A. Noorolahi, Liquid Injection Thrust [2] Vector Control and Effective Parameters, Journal of Energygetic Materials, 3(1) (2008) 15. (In Persian)

### علائم انگلیسی

قطر گلوگاه,	$D^*$
ارتفاع برآمدگی,	$H$
طول قسمت واگرای نازل,	$L$
فشار استاتیک,	$P$
فشار کل,	$P_{\cdot}$
فاصله نقطه مورد نظر از گلوگاه,	$X$
mm	
نسبت کل به فشار محیط	$NPR$

### علائم یونانی

زاویه انحراف جت,	$\alpha$
زاویه بالای جت خروجی,	$\alpha_u$
زاویه پایین جت خروجی,	$\alpha_l$

- eddyl simulation of shock vector control using bypass flow passage, International Journal of Heat, 62 (2016) 474-481.
- [18] M. Salehifar, M. Tahani, M. Hojaji, A. Dartoomian, CFD modeling for flow field characterization and performance analysis of HGITVC, Applied Thermal Engineering, 103 (2016) 291-304.
- [19] L. Li, M. Hirota, K. Ouchi, T. Saito, Evaluation of fluidic thrust vectoring nozzle via thrust pitching angle and thrust pitching moment, Shock Waves, 27(1) (2017) 53-61.
- [20] M. Tahani, M. Hojaji, S.V. Mahmoodi Jezeh, Turbulent jet in crossflow analysis with LES approach, Aircraft Engineering and Aerospace Technology, 88(6) (2016) 717-728.
- [21] M. Hojaji, M. Soltani, M. Taeibi-Rahni, New visions in experimental investigations of a supersonic under-expanded jet into a high subsonic crossflow, Proceedings of the Institution of Mechanical Engineers, Part G: Journal of Aerospace Engineering, 224(10) (2010) 1069-1080.
- [22] V. Viti, R. Neel, J.A. Schetz, Detailed flow physics of the supersonic jet interaction flow field, Physics of Fluids, 21(4) (2009) 046101.
- [23] J.G. Santiago, J.C. Dutton, Crossflow Vortices of a Jet Injected into a Supersonic Crossflow, AIAA Journal, 35(5) (1997) 915-917.
- [11] C.S. Shin, H.D. Kim, T. Setoguchi, S. Matsuo, A computational study of thrust vectoring control using dual throat nozzle, Journal of Thermal Science, 19(6) (2010) 486-490.
- [12] M. Hojaji, M. Tahani, M. Salehifar, A. Dartoomian, Performance Analysis of Secondary Injection Thrust Vector Control, in: The First International and 3rd National Conference of Irainain Aerospace Propulsion Association, Rasht, 2014. (In Persian)
- [13] M. Salehifar, A. Dartoomian, M. Hojaji, M. Tahani, Comparison of 2D and 3D Analysis of Secondary Injection Thrust Vector Control, in: The 8th Student Conference on Mechanical Engineering, 2014, pp. 7-9. (In Persian)
- [14] V. Zmijanovic, V. Lago, M. Sellam, A. Chpoun, Thrust shock vector control of an axisymmetric conical supersonic nozzle via secondary transverse gas injection, Shock Waves, 24(1) (2014) 97-111.
- [15] R. Deng, F. Kong, H.D. Kim, Numerical simulation of fluidic thrust vectoring in an axisymmetric supersonic nozzle, Journal of Mechanical Science, 28(12) (2014) 4979-4987.
- [16] M. Tahani, M. Hojaji, M. Salehifar, A. Dartoomian, Numerical investigation of jet grouting sound effects of fluid characteristics and flow field in supersonic nozzle thrust vector control performance, Modares Mechanical Engineering, 15(8) (2015) 175-186.
- [17] R. Deng, T. Setoguchi, H.D. Kim, F. Flow, Large

چگونه به این مقاله ارجاع دهیم

D. Mokhtari, M. Hojaji, M. Afrand, Numerical/Experimental Investigation of the Presence of a Protuberance in a Convergent – Divergent Nozzle in Supersonic Regime to Control the Thrust Vector, Amirkabir J. Mech Eng., 53(9) (2021) 4887-4904.

DOI: [10.22060/mej.2021.15393.6112](https://doi.org/10.22060/mej.2021.15393.6112)



